

EXPLOSIONS
et
TRANSITION FLAMME-DETONATION
CAS DES SUPERNOVAE ?

Paul Clavin

Aix-Marseille Univ & CNRS, 13480 Marseille

IRPHE UMR 6594

Les Treilles octobre 2012

Fluides réactifs

$$\frac{1}{\rho} \frac{D\rho}{Dt} = -\nabla \cdot \mathbf{u}$$

$$\frac{D}{Dt} = \frac{\partial}{\partial t} + \mathbf{u} \cdot \nabla$$

$$\frac{D\mathbf{u}}{Dt} = -\frac{1}{\rho} \nabla p$$

$$-\frac{Gm}{r^2} \mathbf{e}_r, \quad r \equiv |\mathbf{r}| \quad m \equiv 4\pi \int_0^r \rho r^2 dr$$

Eq. d'état: $p(\rho, T)$

$$\rho c_v \frac{DT}{Dt} = \nabla \cdot (\lambda \nabla T) - p \nabla \cdot \mathbf{u} + \sum_j \overset{\text{chaleur de réaction}}{Q^{(j)}} \dot{W}^{(j)},$$

Vitesses de réaction: $\dot{W}^{(j)}(T, \rho, \dots Y_i \dots)$

$$\rho \frac{DY_i}{Dt} = \nabla \cdot (\rho D_i \nabla Y_i) + \sum_j \nu_i^{(j)} M_i \dot{W}^{(j)},$$

Conditions initiales + aux limites

Combustion classique dans les gaz (réactions moléculaires)

e.V.

$$T_b : 1000 - 3500K \quad \Delta T/T : 3 - 12$$
$$U : 10^{-1} - 3 \cdot 10^3 m/s \quad \Delta p/p : 10^{-2} - 25$$

complexité: 300 réactions - 50 espèces

Combustion nucléaire (fusion)

MeV

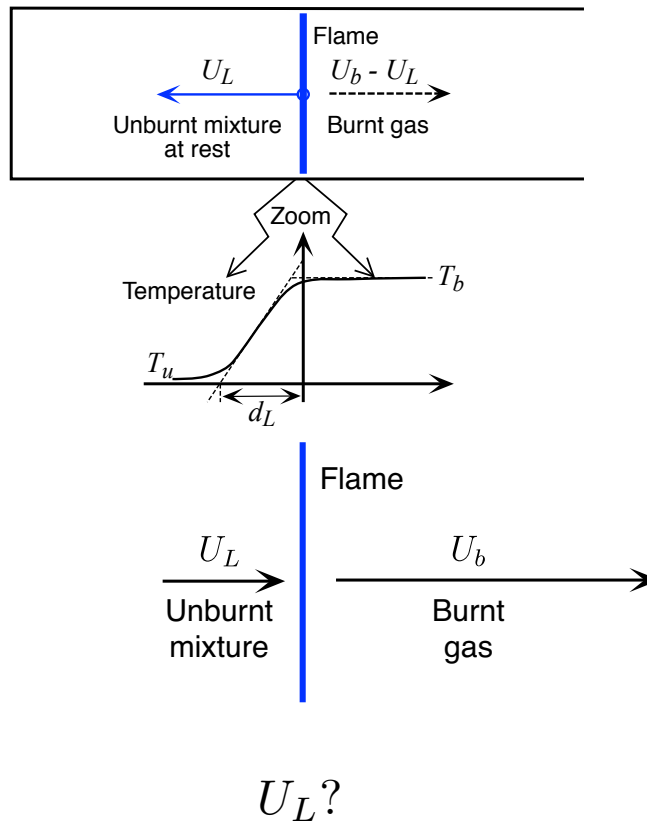
$$T_b : 10^7 - 10^{10} K \quad \rho : 1 - 10^{14} g/cm^3$$
$$U : 10^2 - 10^4 km/s$$

complexité des schémas réactionnels

Flammes: ondes subsoniques

Davy 1810 $U_L/a_u \ll 1$

Ondes planes quasi-isobare



Ondes de réaction-diffusion



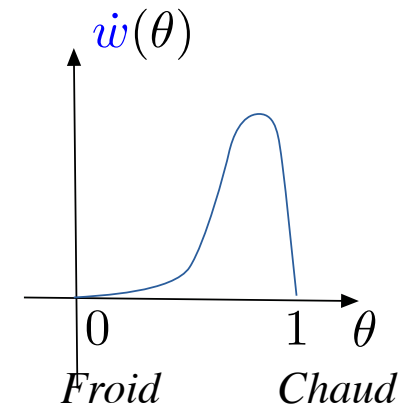
vitesse de flamme

$$\frac{\partial \theta}{\partial t} \rightarrow \mu \frac{d\theta}{dx} - D \frac{d^2\theta}{dx^2} = \frac{\dot{w}(\theta)}{\tau_r},$$

$$x = -\infty : \theta = 0, \quad \dot{w} = 0,$$

$$x = +\infty : \theta = 1, \quad \dot{w} = 0,$$

$$\dot{w} > 0,$$



$$\frac{\mu}{\sqrt{D/\tau_r}}?$$

ZFK 1938

$$\tau_r \gg \tau_{coll} \Rightarrow \mu/a_u \ll 1$$

KPP 1938

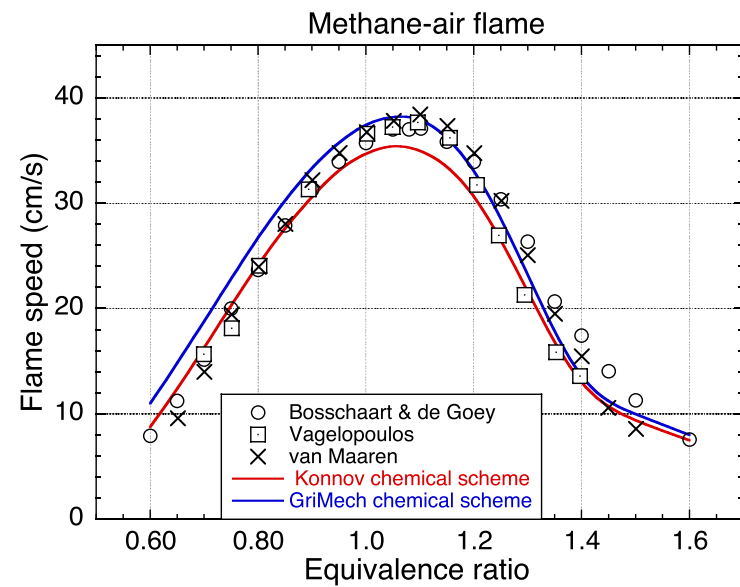
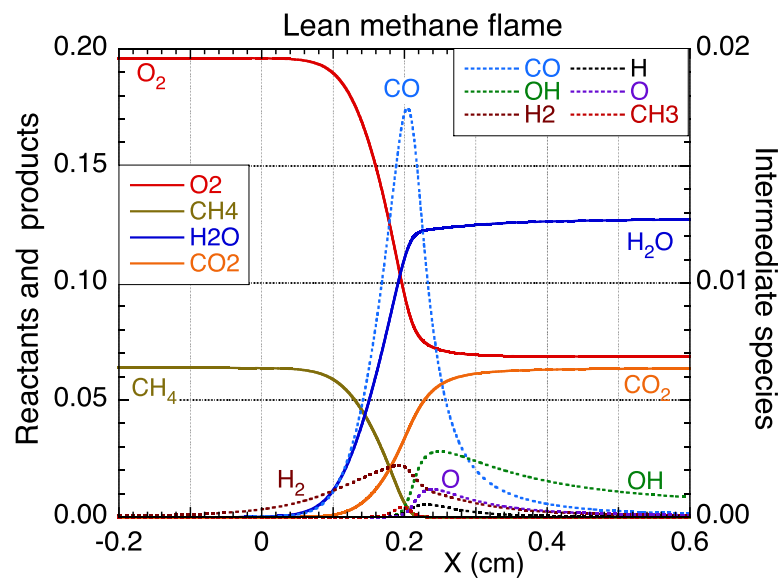
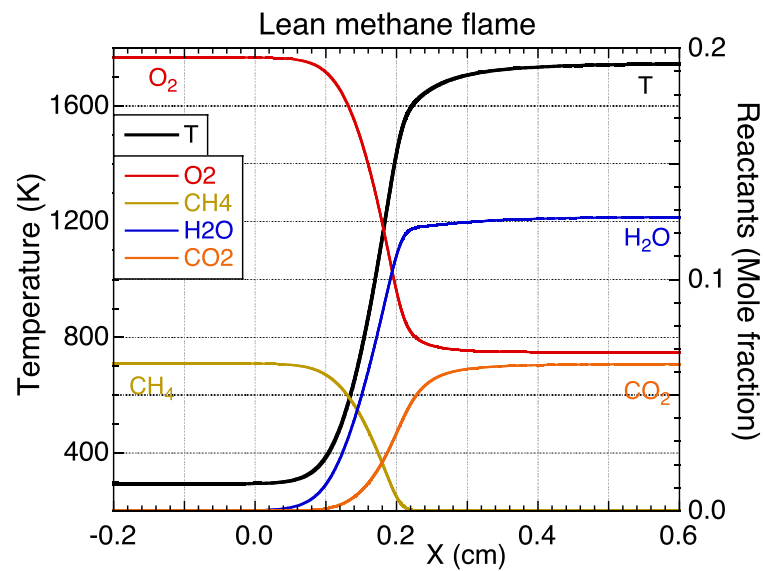
$$D \approx 0.15 \text{ cm}^2/\text{s}. \quad \tau_r \approx 10^{-6} \text{ s}.$$

flammes usuelles

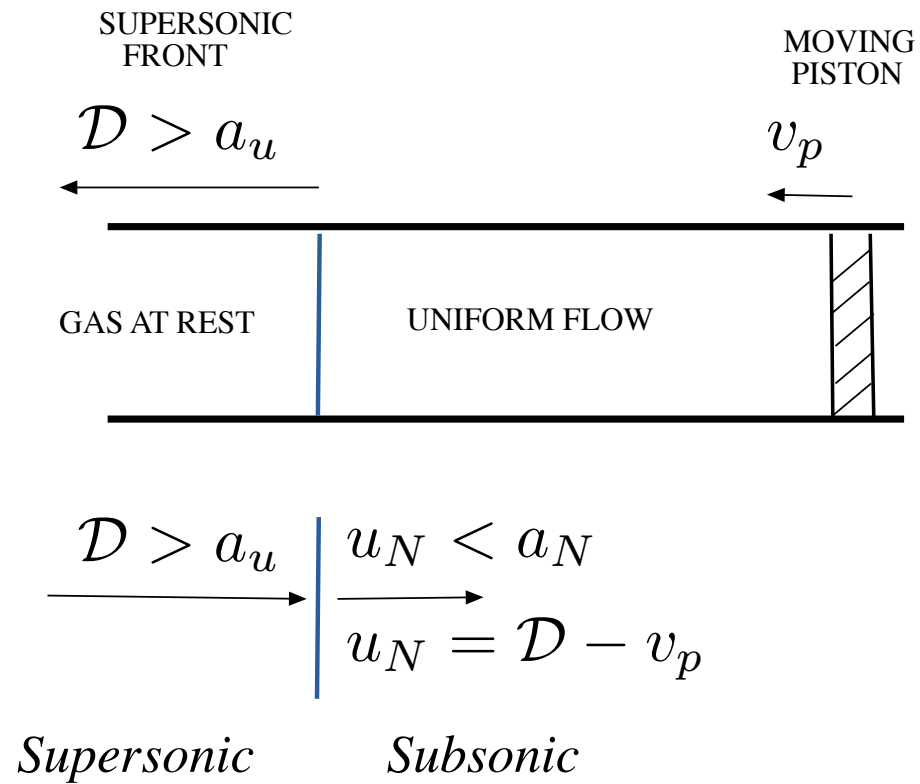
$\times 10^2!$

$$\mu \approx 40 \text{ cm/s}$$

$$d \approx 5 \cdot 10^{-2} \text{ cm}$$



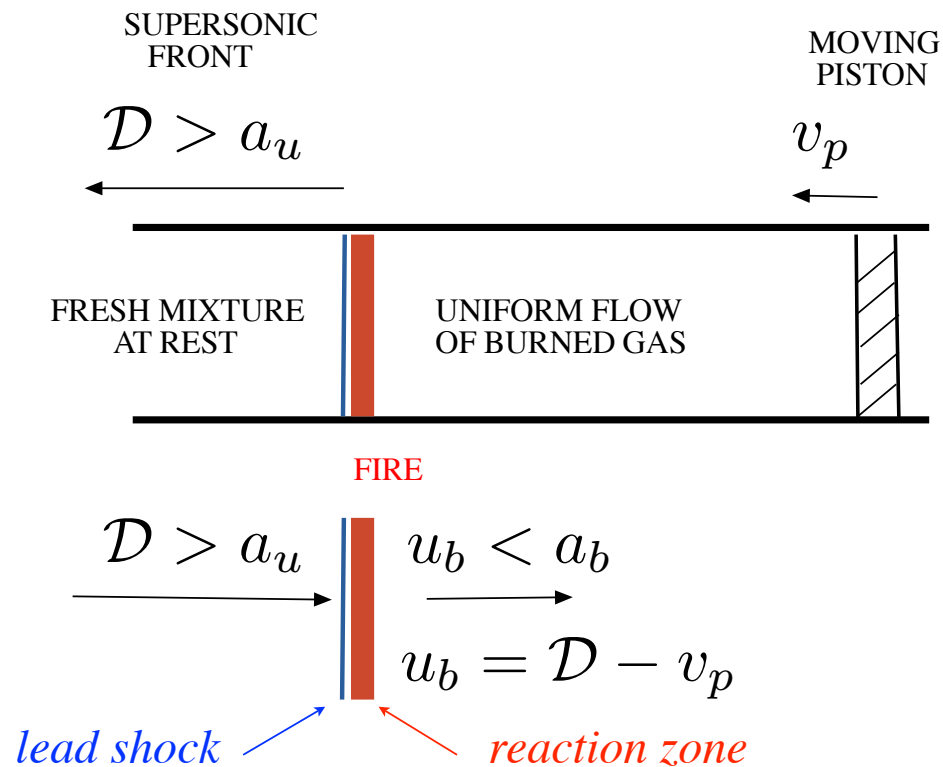
PLANAR SHOCK WAVE INERT GAS



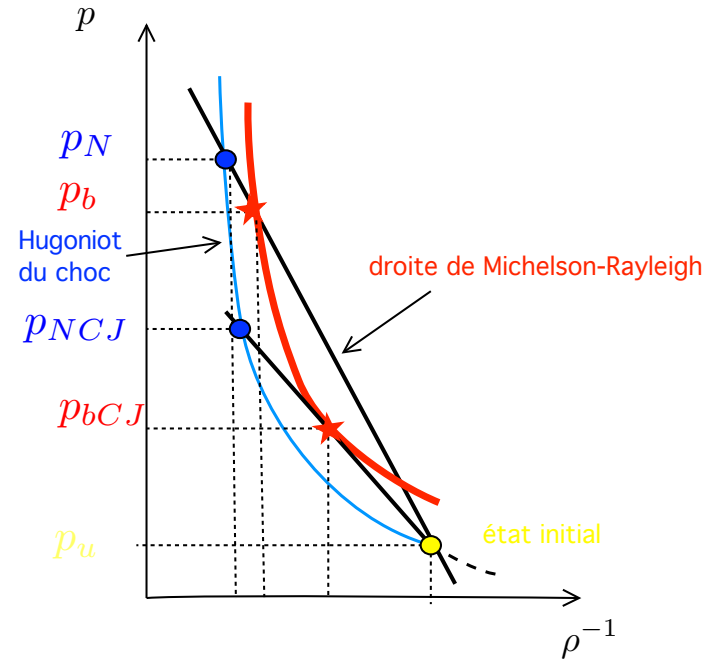
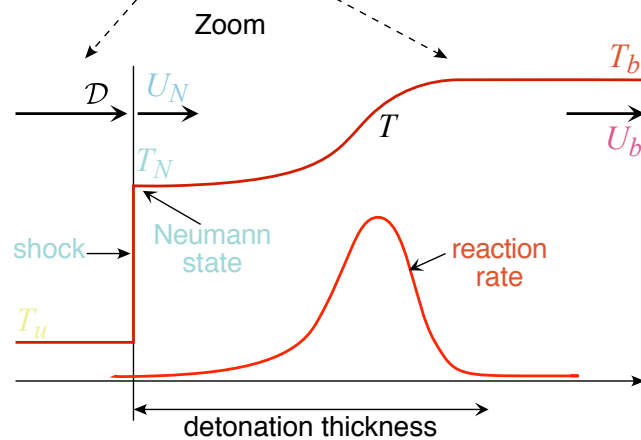
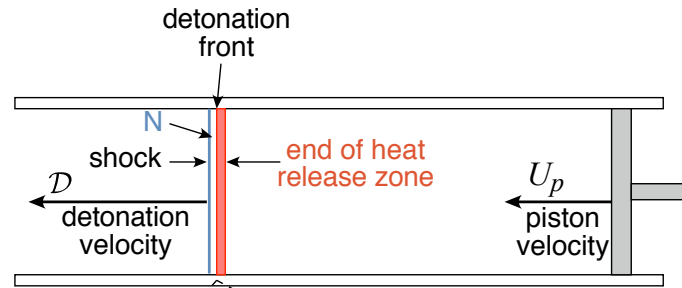
Poisson 1808, Stokes 1848, **Riemann** 1860, Rankine 1869, **Hugoniot** 1889, Rayleigh 1910

OVERDRIVEN DETONATION REACTING GAS

PISTON SUPPORTED SUPERSONIC WAVE



Abel 1870, Berthelot et Vielle 1881, Mallard et Le Chatelier 1881, **Mikhel'son** 1893, Chapman 1899, Jouguet 1904,
Vielle 1900, **Zel'dovich** 1940, von Neumann 1942, Döring 1943,



Mikhel'son 1893,

$D \approx \sqrt{q} \approx 1.5 \cdot 10^3 - 2.8 \cdot 10^3 \text{ m/s}$
détonations gazeuses usuelles

$$T_N \approx 1100 - 1600 \text{ K}$$

$$d = U_N \tau_r \approx 10^{-1} - 1 \text{ cm/s}$$

$$p_N / p_u \approx 10 - 30$$

Stabilité de ces ondes et leur dynamique



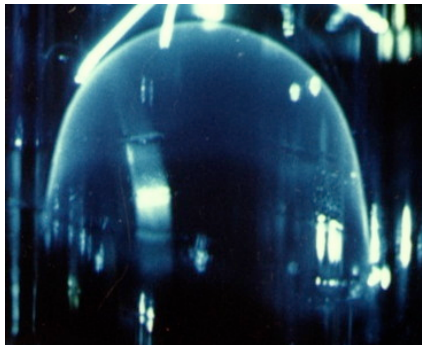
DL instab
hydro

Flammes cellulaires



“Turing” instab
thermo diff

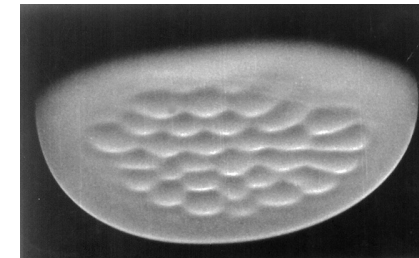
L. Boyer, G. Quinard et J. Quinard, IRPHE 1980-2000



RT instab



stabilisé par anti RT



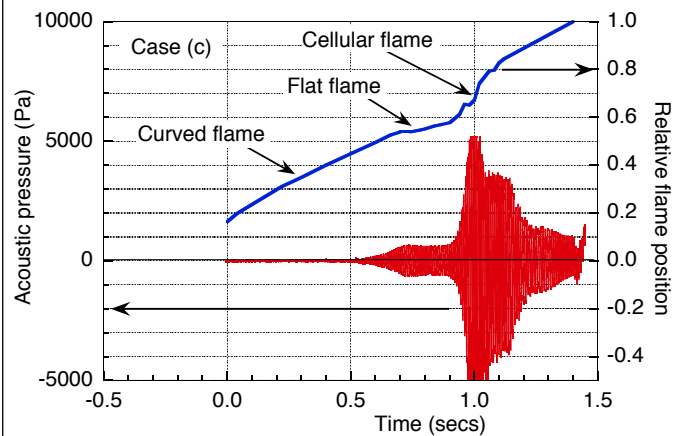
Insta thermo-acoustique

Rayleigh 1878

Feedback

$$\partial^2 p / \partial^2 t - a^2 \Delta p = \partial \dot{q} / \partial t$$

Sound generation



**Acoustic instability
in
Premixed Flames**

© IRPHE
G. Searby

G. Searby & D. Rochewerger *JFM* (1991)

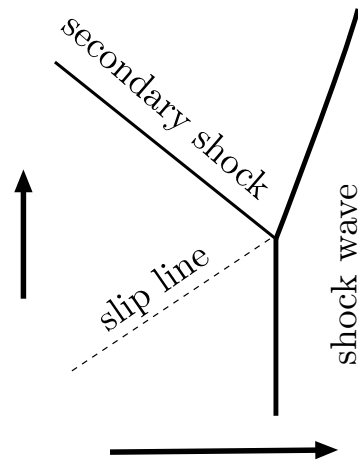
C. Clanet, G. Searby & P.C. *JFM* (1999)

INTERACTION
ONDE DE CHOC - VORTEX
ONDE DE CHOC - TURBULENCE

Formation de singularités en temps fini

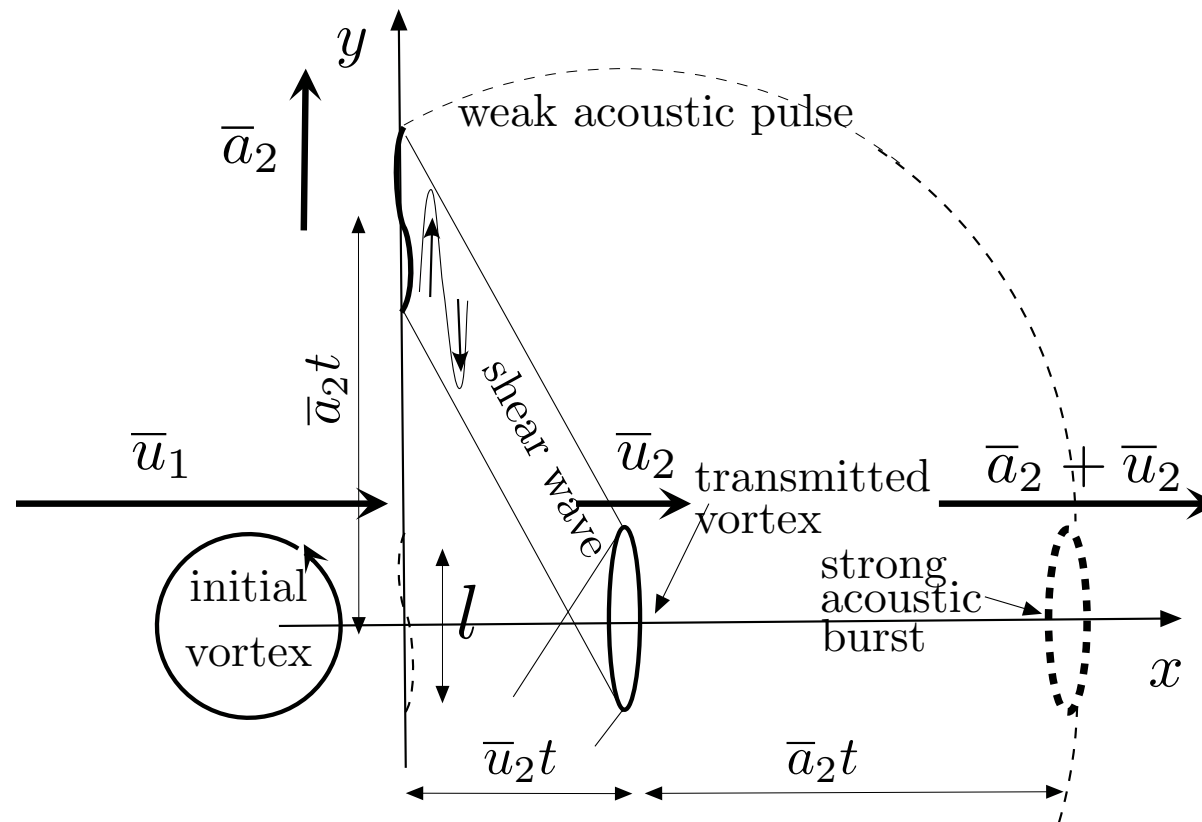
P.C. 2012

FORMATION DE POINT TRIPLE (MACH-STEM)



Stabilité et dynamique des fronts de choc.

Ondes transverses



S.K. Lele and J. Larsson
Stanford University

Shock-turbulence interaction: What we know and what we can learn from simulations

SciDAC 2009

IOP Publishing

Journal of Physics: Conference Series **180** (2009) 012032

doi:10.1088/1742-6596/180/1/012032

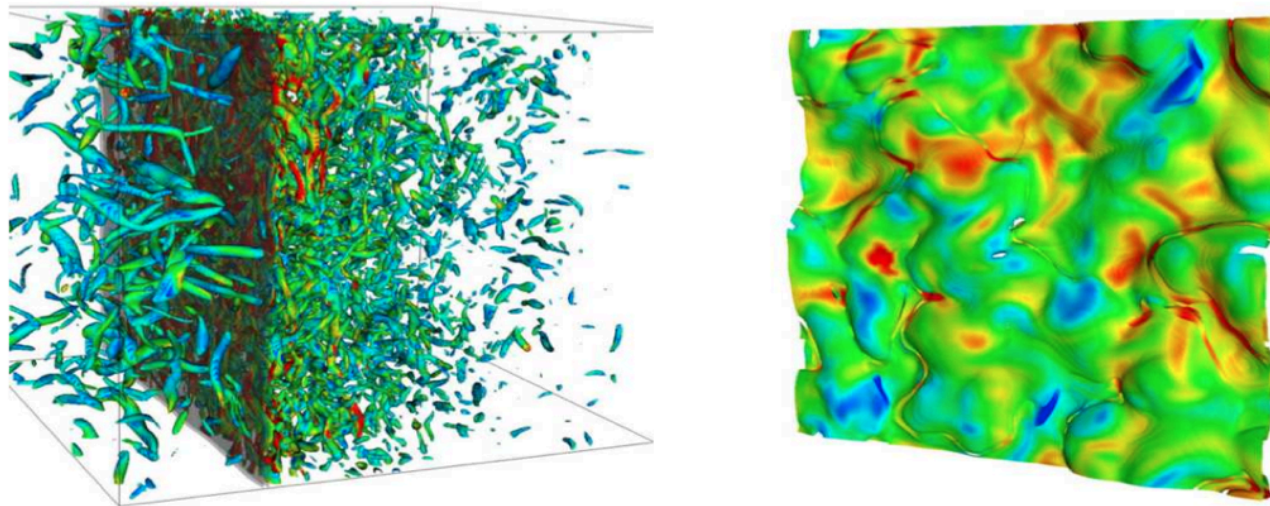


Figure 1. Shock/turbulence interaction. Left: Turbulent eddies (green structures, flowing from left to right) are compressed and amplified upon passing through a stationary shock (thin blue sheet). Right: Strongly wrinkled shock in the nonlinear regime with strong incoming turbulence, with colors indicating regions of high (red) and low (blue) streamwise velocity.

Analyse faiblement linéaire pour les chocs forts dans la limite Newtonienne

Reduced equation for the shock front $\tilde{A}(\eta, \zeta, \tau)$

$$\frac{\partial^2 \tilde{A}}{\partial \tau^2} - \nabla^2 \tilde{A} + \frac{\partial |\nabla \tilde{A}|^2}{\partial \tau} = 0$$

effet d'une perturbation amont (vortex, turbulence)

$$\frac{\partial^2 \tilde{A}}{\partial \tau^2} - \nabla^2 \tilde{A} + \frac{\partial |\nabla \tilde{A}|^2}{\partial \tau} = \frac{\mathcal{H}(\eta, \zeta, \tau/\epsilon)}{\epsilon^2}$$

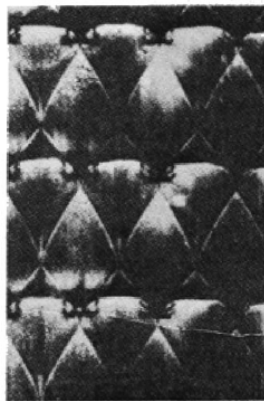
$\mathcal{H}(\eta, \zeta, \cdot)$ function of order unity

effet de l'intermittence

Spinning, 1926 Cellular, 1950-1960



(b)

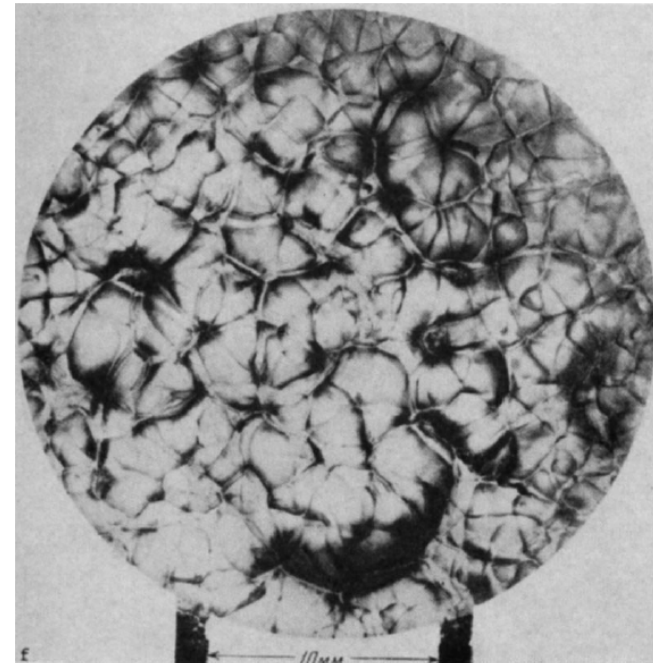


(c)



(d)

Markings left on sooted-coated foils at the walls



*Front view
Shchelkin&Troshin 1965*

Cellular detonations are instructive examples of Mach stem formation in shock waves

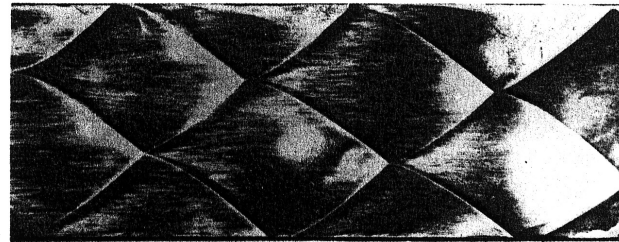
Sec. 7A

OVERVIEW

Shchelkin & Troshin 1965

Strehlow 1984

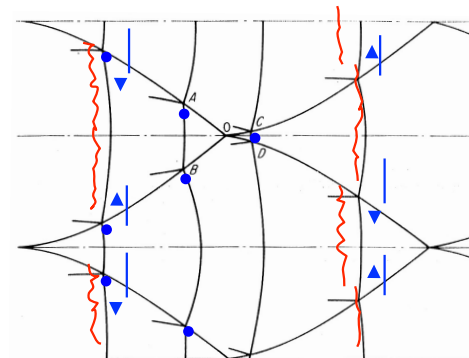
Transverse structures



PLANAR MODE $2\text{H}_2 + \text{O}_2 + 70\%\text{Ar}$ 70 TORR

DNS:

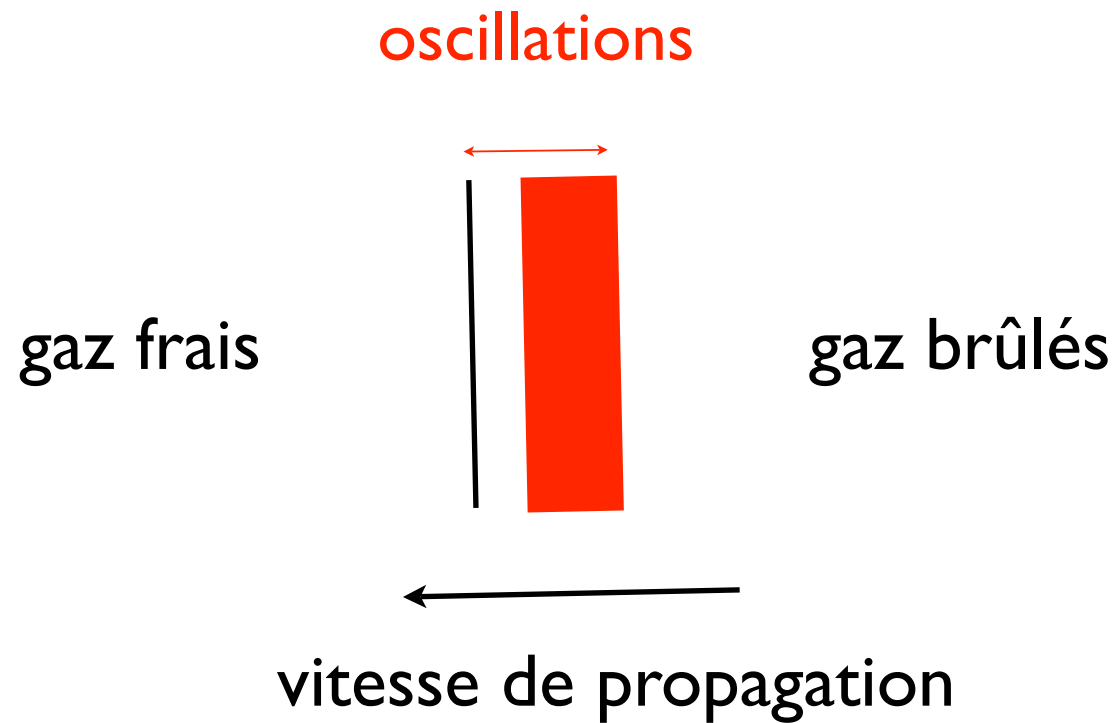
Oran & Boris (1987)
Bourlioux & Majda (1992)



Propagation



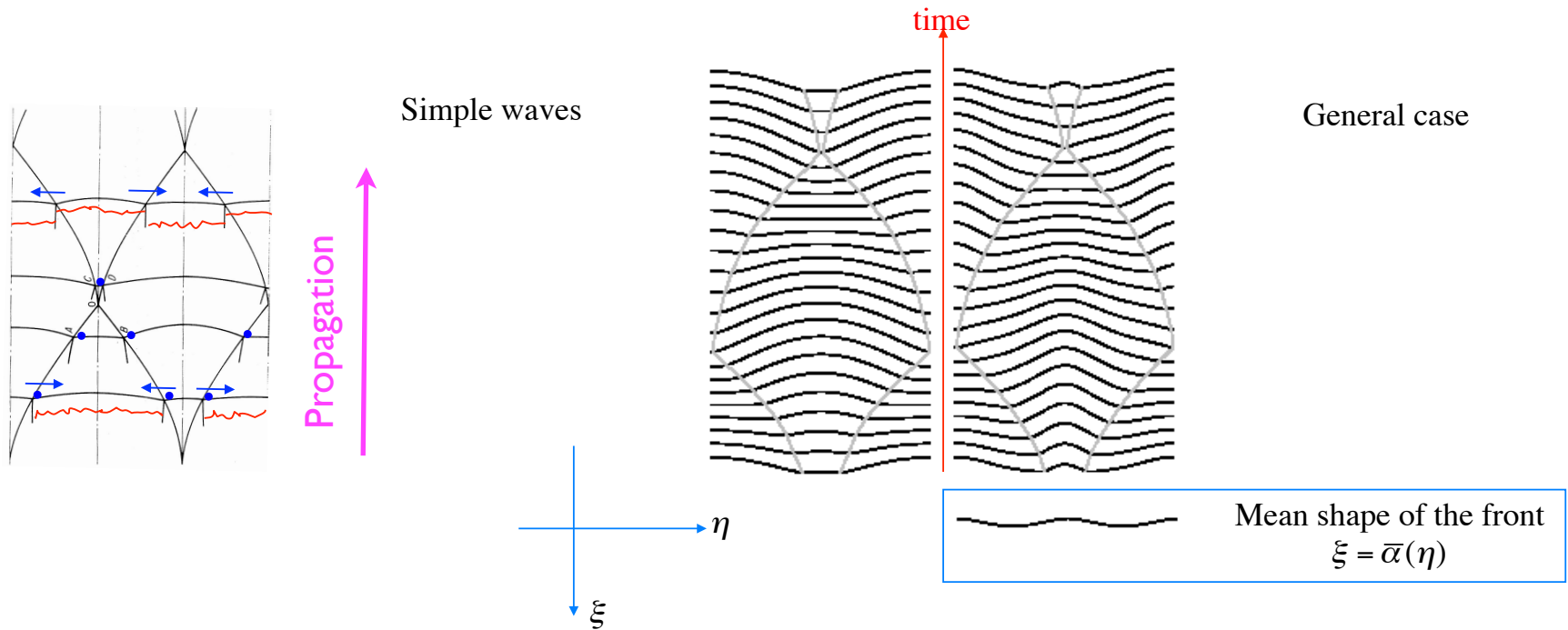
INSTABILITÉ I-D des détos



P.C. & L.He *JFM* 1996

Bifurcation analysis: model equation for the detonation front

P.C. & B. Denet, *Phys. Rev. Lett.* 2002



Pbs d'initiation directe en espace libre:

Pas trop difficile pour les flammes

Difficile pour les détos $p_N/p_u \approx 10 - 30$

L.He & P.C. *JFM* 1994

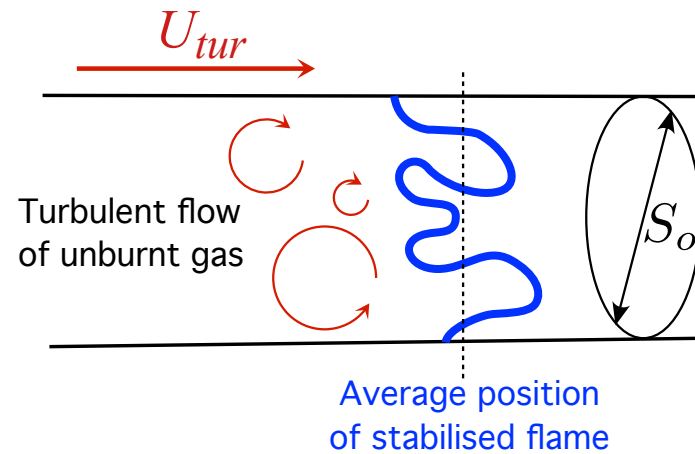
Transition déflagration détonation DDT

Flamme = piston semi-imperméable

Pas facile même en espace confiné.

Non observé en espace libre.

Flamme turbulente

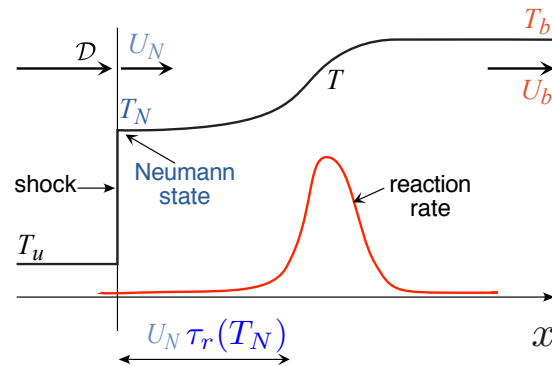


vitesse de flamme
turbulente

$$\frac{U_{tur}}{U_L} = \frac{\Sigma}{S_o}$$

surface de flamme

DDT observé dans les tubes pour $U_{tur}/U_L \approx 10^2$

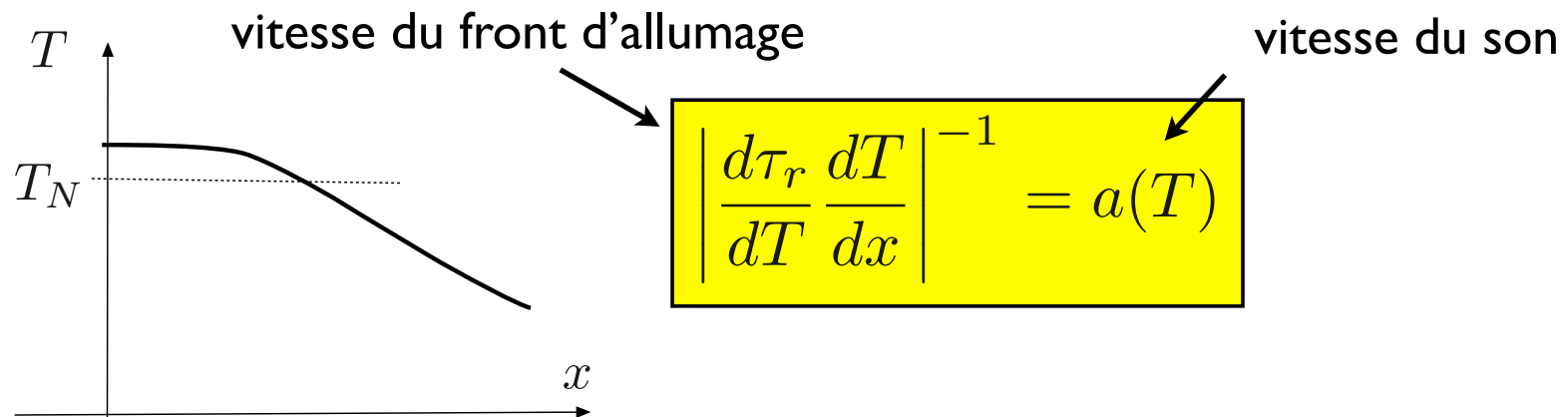


$$\frac{d\tau_r}{dT} < 0$$

Allumage spontané des détonations

Zeldovich et al. 1970, Zeldovich 1980

Gradient de température $T > T_N$ établie sur des temps courts $t < \tau_r(T)$



Extinction “dynamique” à plus basse température
point de retournement

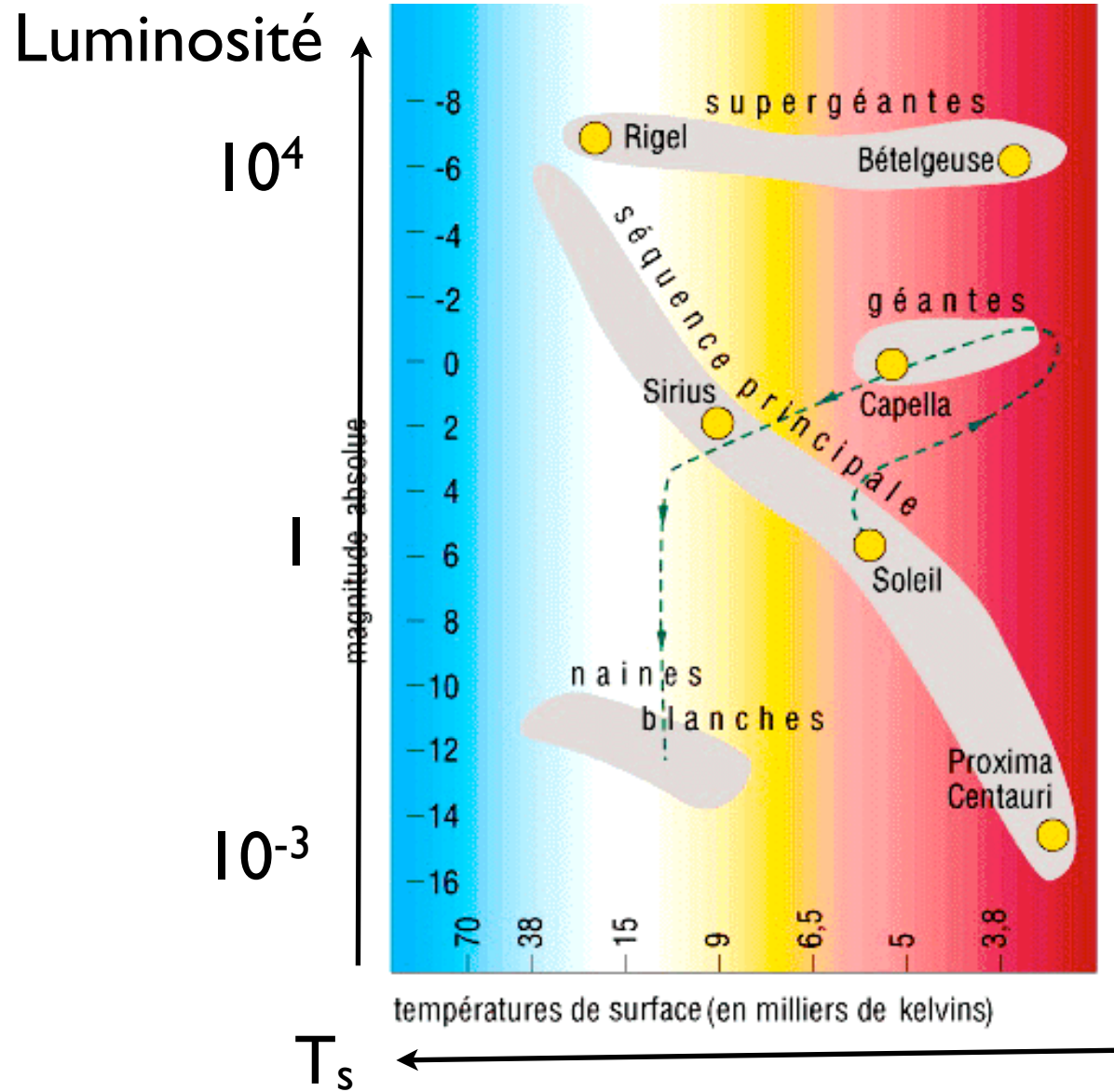
L. He & P.C. 1992, 1994

LES ÉTOILES

Zel'dovich & Novikov "*Stars and relativity*" Dover 1970

- I) États quasi-stationnaires

Étoiles en régime quasistationnaire



A. Bouquet 1998

Équilibre hydrostatique
sans réaction nucléaire

Hypothèses: sphérique, pas de convection, "eq. d'état":

$$p = K \rho^\gamma$$

$$m(r) = 4\pi \int_0^r \rho(r') r'^2 dr' \quad -\frac{1}{\rho(r)} \frac{dp}{dr} = \frac{Gm(r)}{r^2}$$

Données: masse de l'étoile M , **Paramètres:** γ, K, G

Conditions aux limites: $r = 0 : d\rho/dr = 0$, $r = R? : \rho = 0$

Méthode du tir corrigé

$$r = 0 : d\rho/dr = 0, \rho = \rho_c \Rightarrow R \text{ et } M \Rightarrow R(M)$$

Équation de Lane-Emden (1907)

$$n \equiv 1/(\gamma - 1) \quad l^2 \equiv [(n + 1)K/(4\pi G)]\rho_c^{1/n-1} \quad \xi \equiv r/l \quad \theta \equiv \rho/\rho_c$$

$$\frac{1}{\xi^2} \frac{d}{d\xi} \left[\xi^2 \frac{d\theta}{d\xi} \right] = -\theta^n$$

$$\xi = 0 : \theta = 1, \quad d\theta/d\xi = 0$$

$$\gamma = 1 + \frac{1}{n} \quad p = K\rho^\gamma$$

$$M = \frac{b(n)}{G^{3/2}} \frac{p_c^{3/2}}{\rho_c^2} \quad \rho_c \propto M^{2n/(3-n)}$$

$n < 3, \quad (\gamma > 4/3) : \quad \text{Stable}$

$n > 3, \quad (\gamma < 4/3) : \quad \text{Instable}$

Naines blanches

$$\rho_c \ll 10^6 \text{ g/cm}^3 \Rightarrow \gamma = 5/3$$

$$\rho_c \gg 10^6 \text{ g/cm}^3 \Rightarrow \gamma = 4/3 \quad p = K^* \rho^{4/3}$$

Masse critique

$$M^* \approx 1.4M_\odot$$

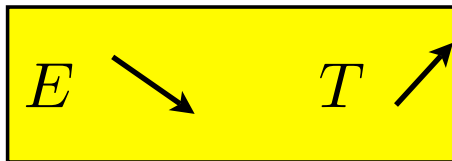
Pertes thermiques radiatives Compensées / réactions nucléaires Combustible épuisé ?

$$U = -4\pi G \int_0^R \rho(r) \frac{m(r)}{r} r^2 dr \quad E_T = 4\pi \int_0^R e(r) r^2 dr \quad E = E_T + U$$

$$4\pi \int_0^R r^3 dr \left[-\frac{dp}{dr} = \rho(r) \frac{Gm(r)}{r^2} \right] \Rightarrow 4\pi \int_0^R 3p(r) r^2 dr = -U$$

gaz parfait : $3p = 2\rho e$

$$2E_T = -U \Rightarrow E = -E_T$$



de $3 \times 10^{25} \text{ g/cm}^3$, ce qui explique pourquoi il ne disparaît pas dans un trou noir.

Réactions thermonucléaires majeures au sein des étoiles

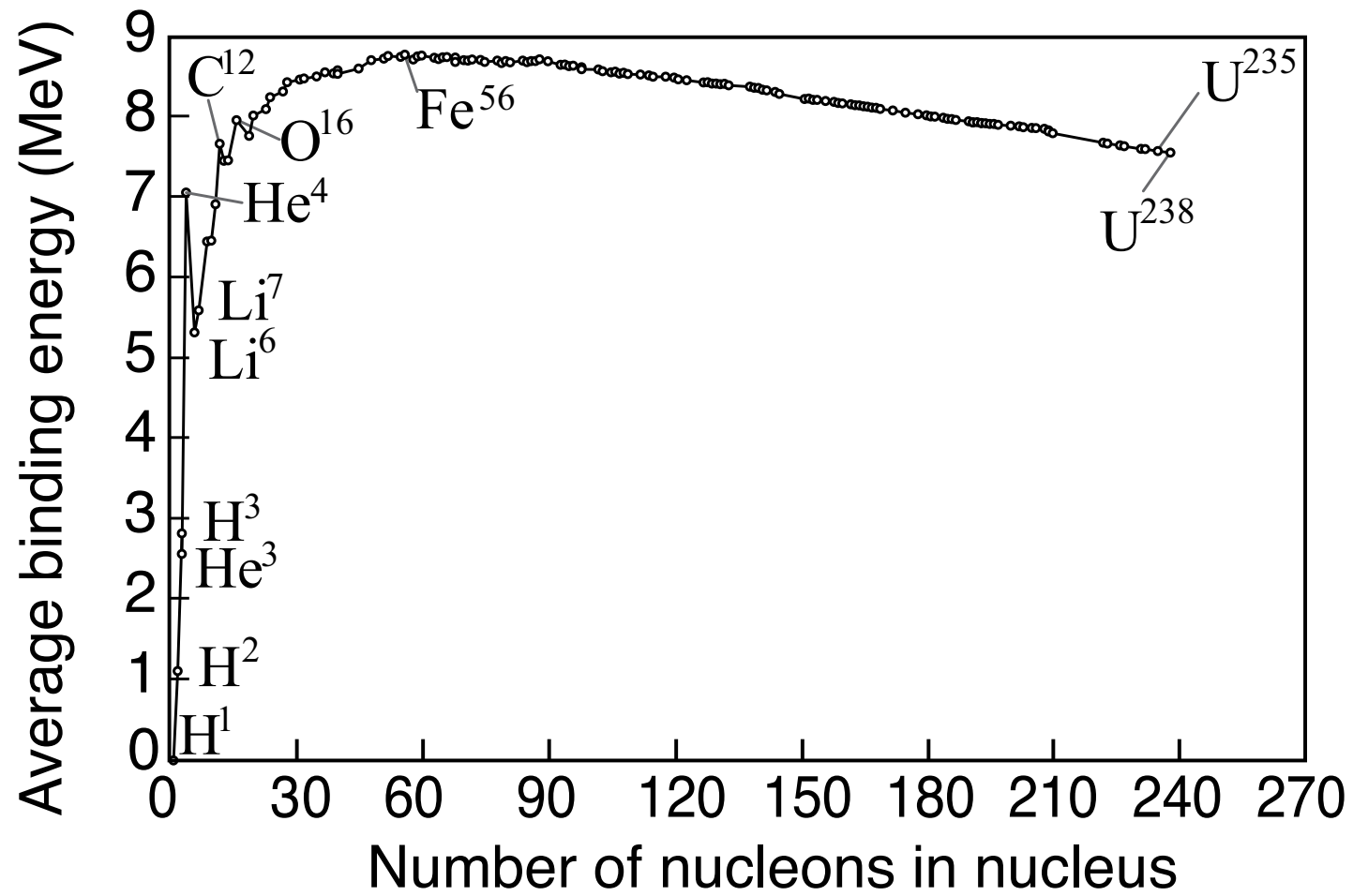
F.Terrin

Nature des réactions	Température d'ignition (en millions de degrés K)
Combustion de l'hydrogène $4 \text{ } ^1\text{H} \rightarrow \text{ } ^4\text{He}$ (réaction proton-proton)	10
Combustion de l'hélium $3 \text{ } ^4\text{He} \rightarrow \text{ } ^8\text{Be} + \text{ } ^4\text{He} \rightarrow \text{ } ^{12}\text{C}$ $\text{ } ^{12}\text{C} + \text{ } ^4\text{He} \rightarrow \text{ } ^{16}\text{O}$	100
Combustion du carbone $2 \text{ } ^{12}\text{C} \rightarrow \text{ } ^4\text{He} + \text{ } ^{20}\text{Ne}$ $\text{ } ^{20}\text{Ne} + \text{ } ^4\text{He} \rightarrow \text{ n} + \text{ } ^{23}\text{Mg}$	600
Combustion de l'oxygène $2 \text{ } ^{16}\text{O} \rightarrow \text{ } ^4\text{He} + \text{ } ^{28}\text{Si}$ $2 \text{ } ^{16}\text{O} \rightarrow 2 \text{ } ^4\text{He} + \text{ } ^{24}\text{Mg}$	1.500
Combustion du silicium $2 \text{ } ^{28}\text{Si} \rightarrow \text{ } ^{56}\text{Fe}$	4.000
Photodissociation du fer $\text{ } ^{56}\text{Fe} \rightarrow 13 \text{ } ^4\text{He} + 4 \text{ n}$	6000

Ces réactions sont classées par température d'ignition croissante, depuis 10 millions de degrés pour l'hydrogène jusqu'à 6 milliards de degrés pour le fer. Seule

	T (K)	ρ (g.cm ⁻³)	ans
H → He	6.10^7	5	7.10^6
He → C, O	2.10^8	7.10^2	5.10^5
C → O, Ne, Mg	9.10^8	2.10^5	6.10^2
Ne → O, Mg, Si	$1.7 10^9$	4.10^5	1
O → Si, S	$2.3 10^9$	10^7	0.5
Si → Fe	4.10^9	3.10^7	1 jour

Nucléosynthèse calme $M = 25 M_{\odot}$



Que se passe-t-il quand les réactifs sont épuisés ?

Fin de combustion

étoiles de petite masse \neq étoiles de grande masse

$M < 0.7 M^*$ Naine blanche d'He

$M \approx 0.7 M^*$ Géante Rouge, Naine blanche C et O

$M \leq 10 M_{\odot}$ Naine blanche C et O après
expulsion de l'enveloppe !? $0.5 M_{\odot} < M_{C-O} < 0.8 M_{\odot}$

$10 M_{\odot} < M < 12 M_{\odot}$ Naine blanche Ne et O après
expulsion de l'enveloppe !? $0.8 M_{\odot} < M_{Ne-O} < 1.4 M_{\odot}$

$12 M_{\odot} < M$ $T_c \nearrow 5 \cdot 10^8 K$ Combustion \nearrow Fe
étoile à neutrons $M_{Ne-O} < M^*$

SN II

Bethe *Rev. Mod. Phys.* 1990

Étoile de grosse masse

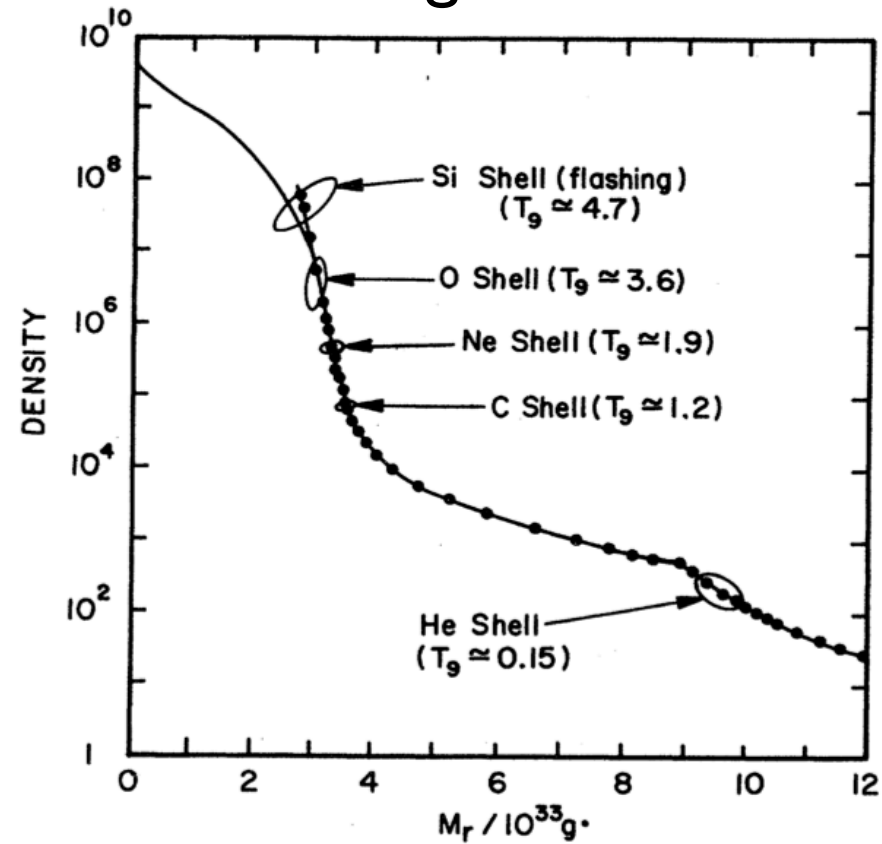
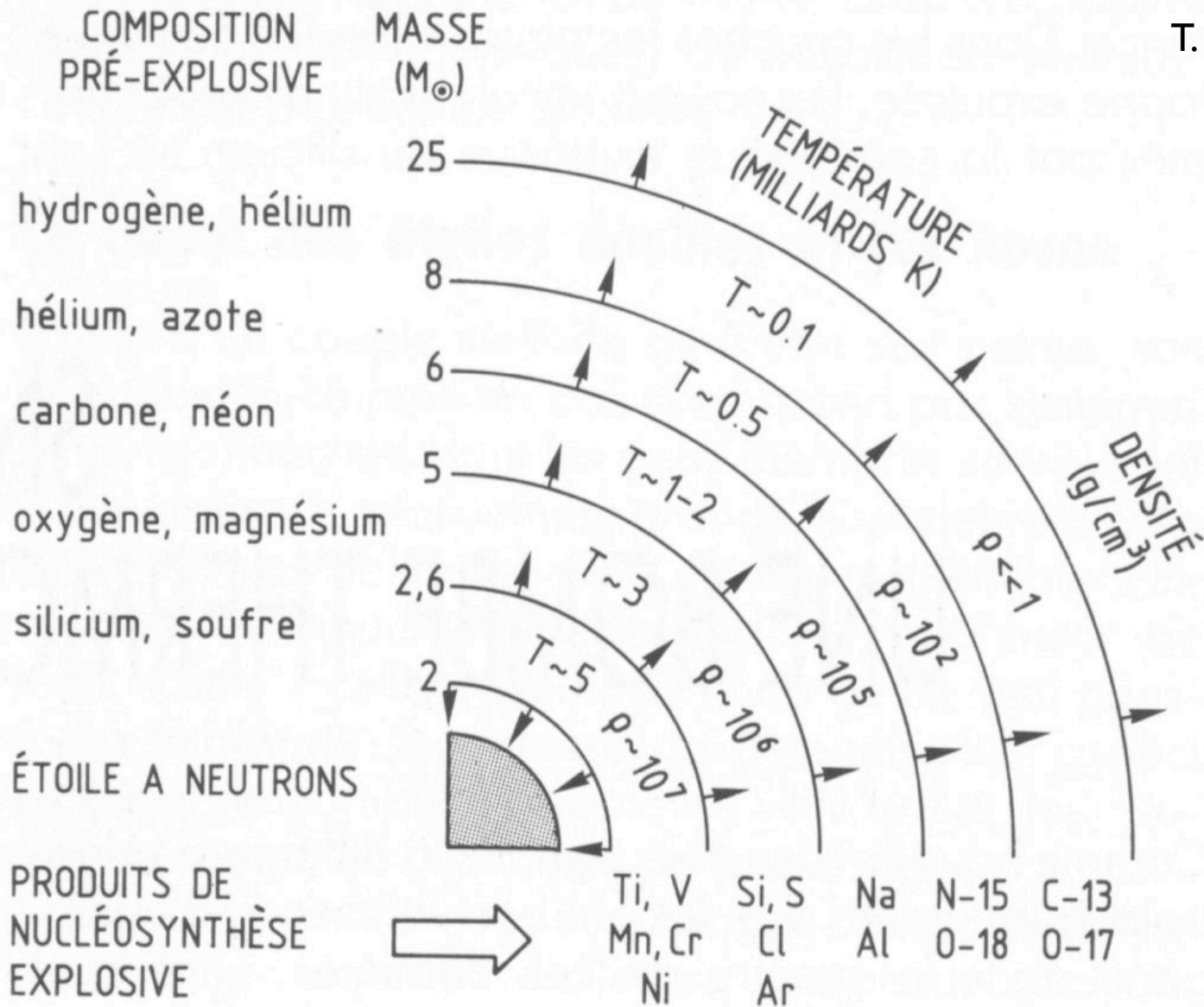


FIG. 1. Density distribution of a star before supernova collapse, according to Arnett (1977a). The enclosed mass is given in units of 10³³ grams; the Sun's mass is 2 × 10³³ g. The location of shells is indicated in which various nuclear reactions take place, together with the temperature in units of 10⁹ K.



Supernovae: événements courts, violents extraordinaires et exceptionnels

*brillance = 10^9 soleil, durée: plusieurs semaines à 1 an,
éjection d'une énorme quantité de matière à très grande distance,
production des éléments lourds*

*185 bc, 1006, 1054 Chine, 1572 Tycho Brahe, 1650 Kepler, ...1987,..
une centaine répertoriée à ce jour*

courbe de lumière + spectre: classification.....

traces visibles + longtemps

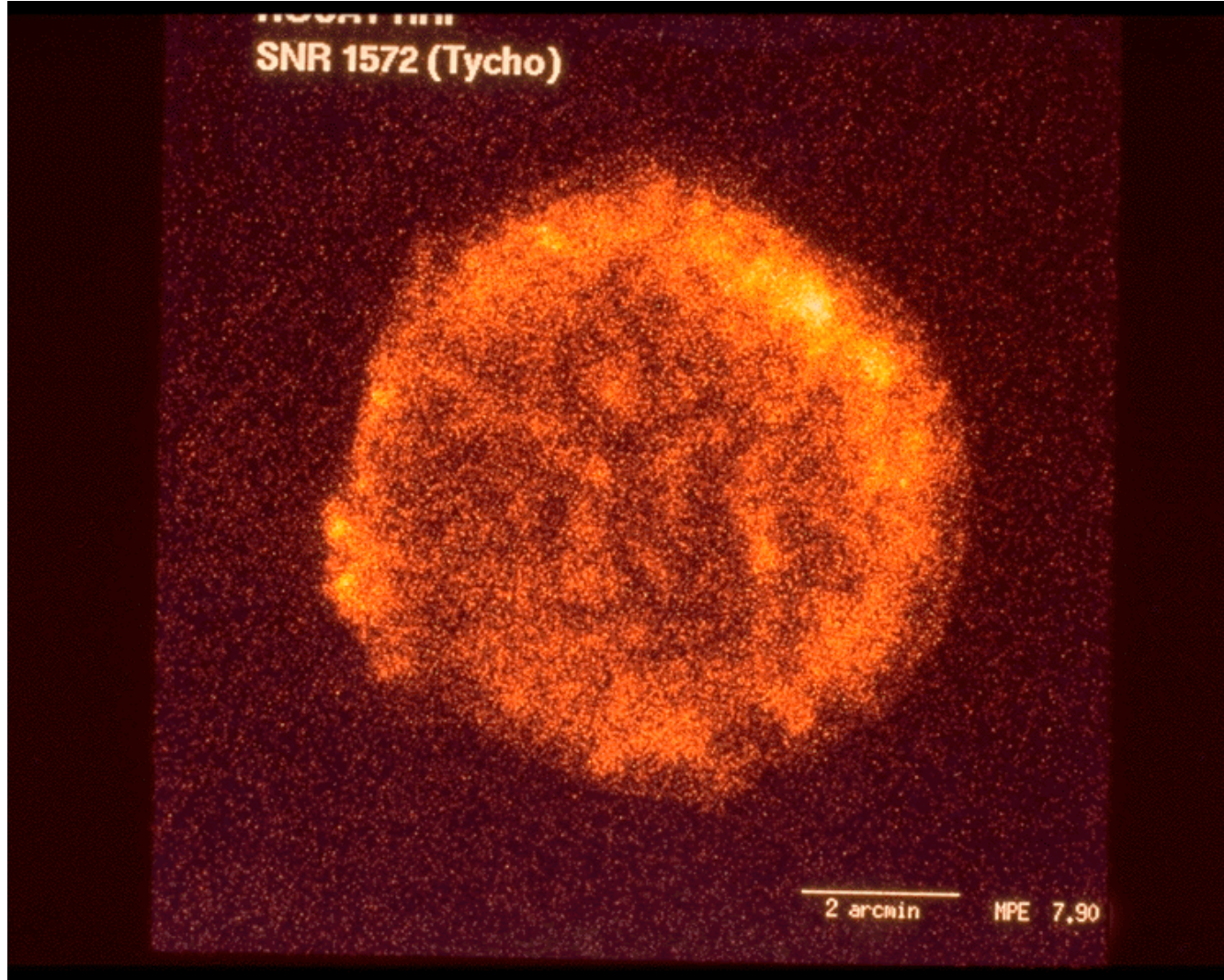
10 a.l.

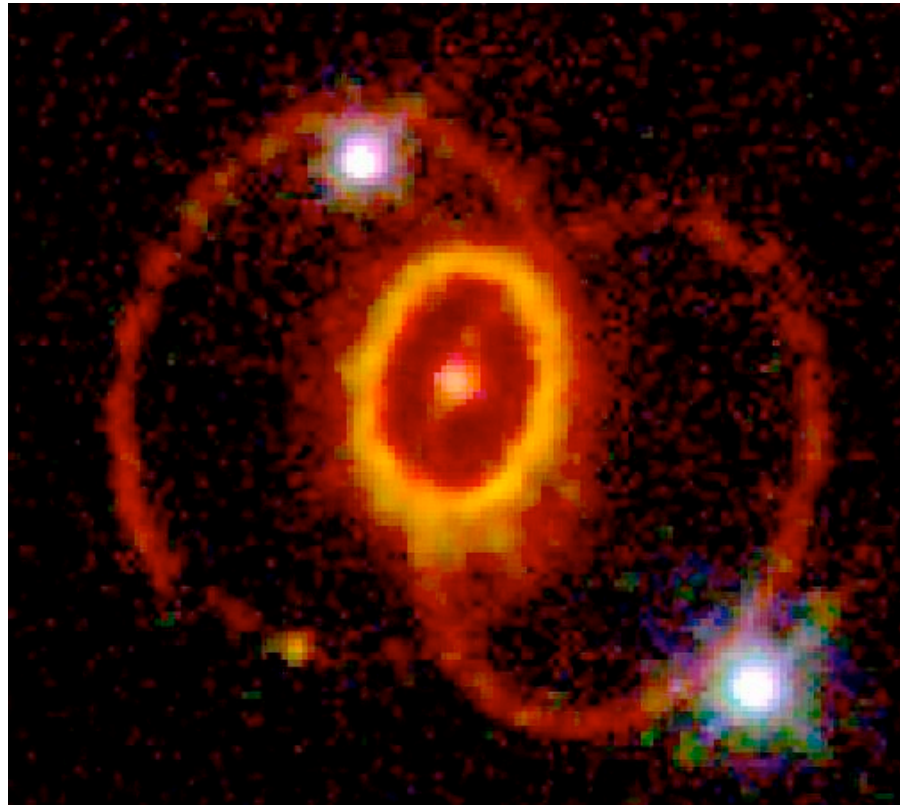


vitesse d'expansion
qq 1500 km/s
densité des filaments
 10^3 part/cm³

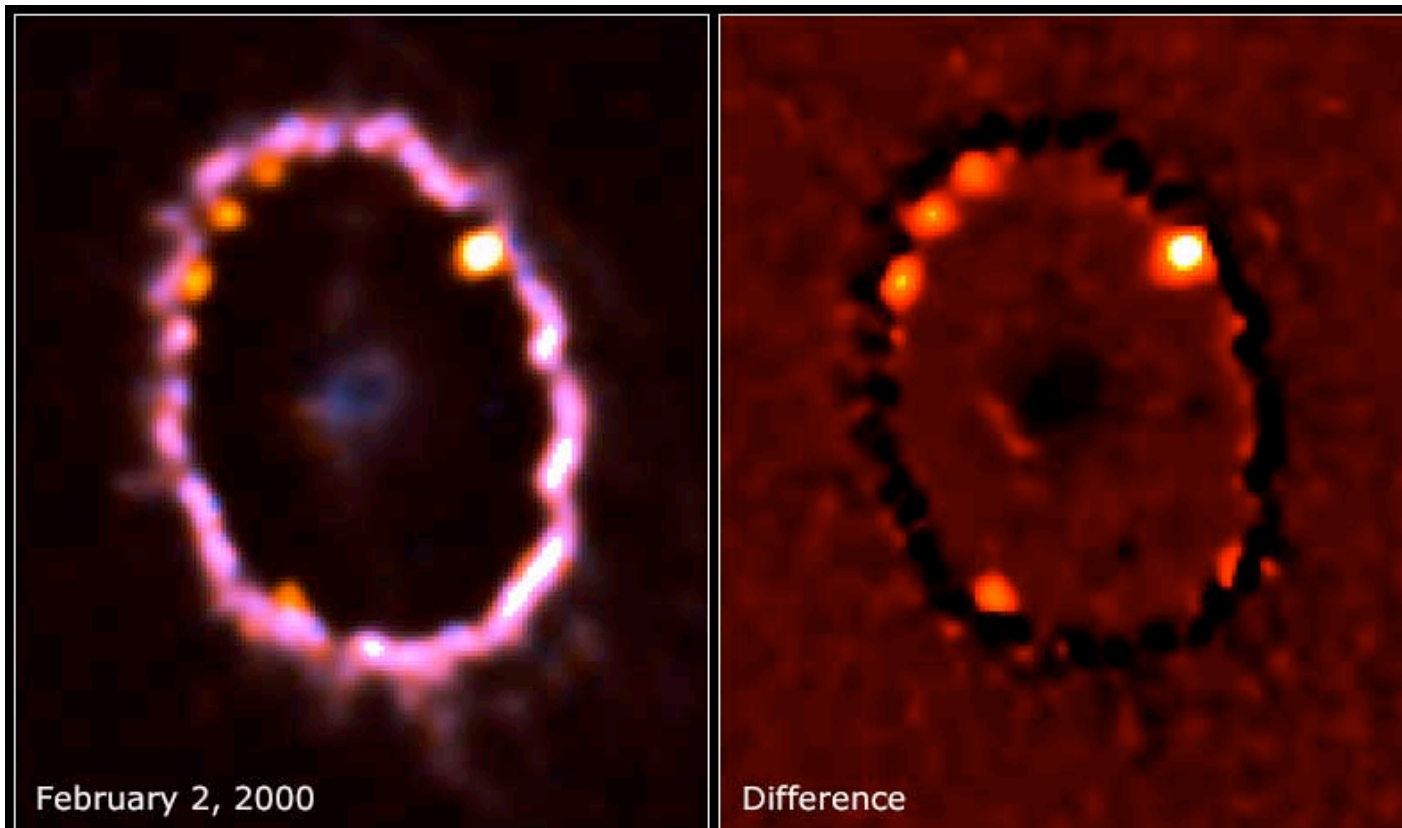
SN 1054 Nébuleuse du Crabe ds constellation du Taureau (voie lactée)
distance: 6 520 a.l.
au centre: étoile à neutron, pulsar rotation 33/s

SNR 1572 (Tycho)





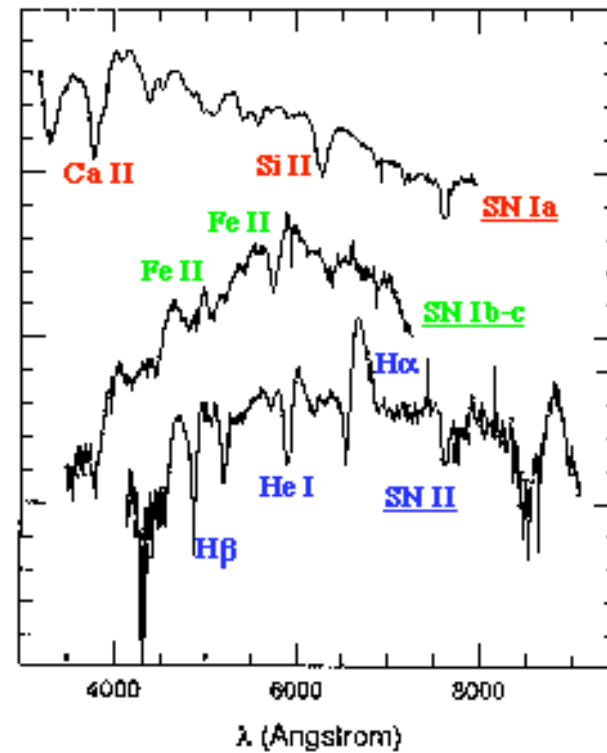
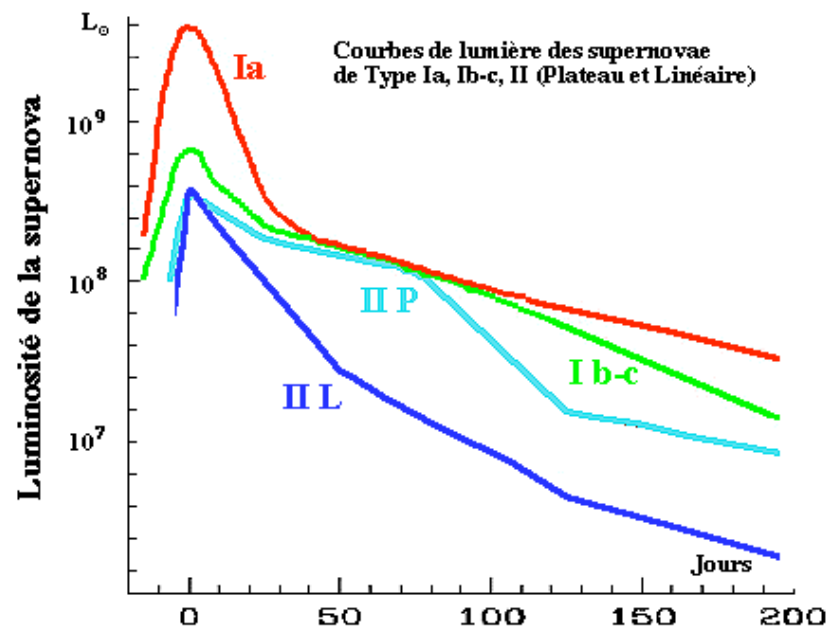
SN 1987: Grand nuage de Magellan $17 \cdot 10^4$ a.l.



Supernova 1987A in the Large Magellanic Cloud HST • WFPC2
NASA, P. Challis and R. Kirshner (CfA), P. Garnavich (University of Notre Dame)
and The SINS Collaboration • STScI-PRC00-11

SN I: pas de raies H

SN II: raies H



A. Bouquet 1998

SN Ia: Combustion explosive

...Wheeler & Harkens *Rep. Prog. Phys* (1990), Khokhlov et al. *A&A* (1992), ... Baron et al. *ApJ* (2012)

Petite étoile ancienne: naine blanche

$M \nearrow$ par interaction binaire $10^{-10} - 10^{-5} M_{\odot}$
 $\rho : 10^6 - 10^7 \text{ g/cm}^3 \quad T \approx 10^8 \text{ K}$

Simulations numériques:

Allumage d'une flamme turbulente
transition vers une détonation

Mes critiques sont nombreuses

SN II: collapse

Yahil *ApJ* (1983), Bethe *Rev. Mod. Phys* (1990), Woosley Heger *Rev. Mod. Phys* (2002),
Janka et al. *Phys. Rep.* (2007), Keshet & Balberg *P. R.L* (2012),

Grosse étoile jeune en pelure d'oignon

Analytique + simulations numériques:

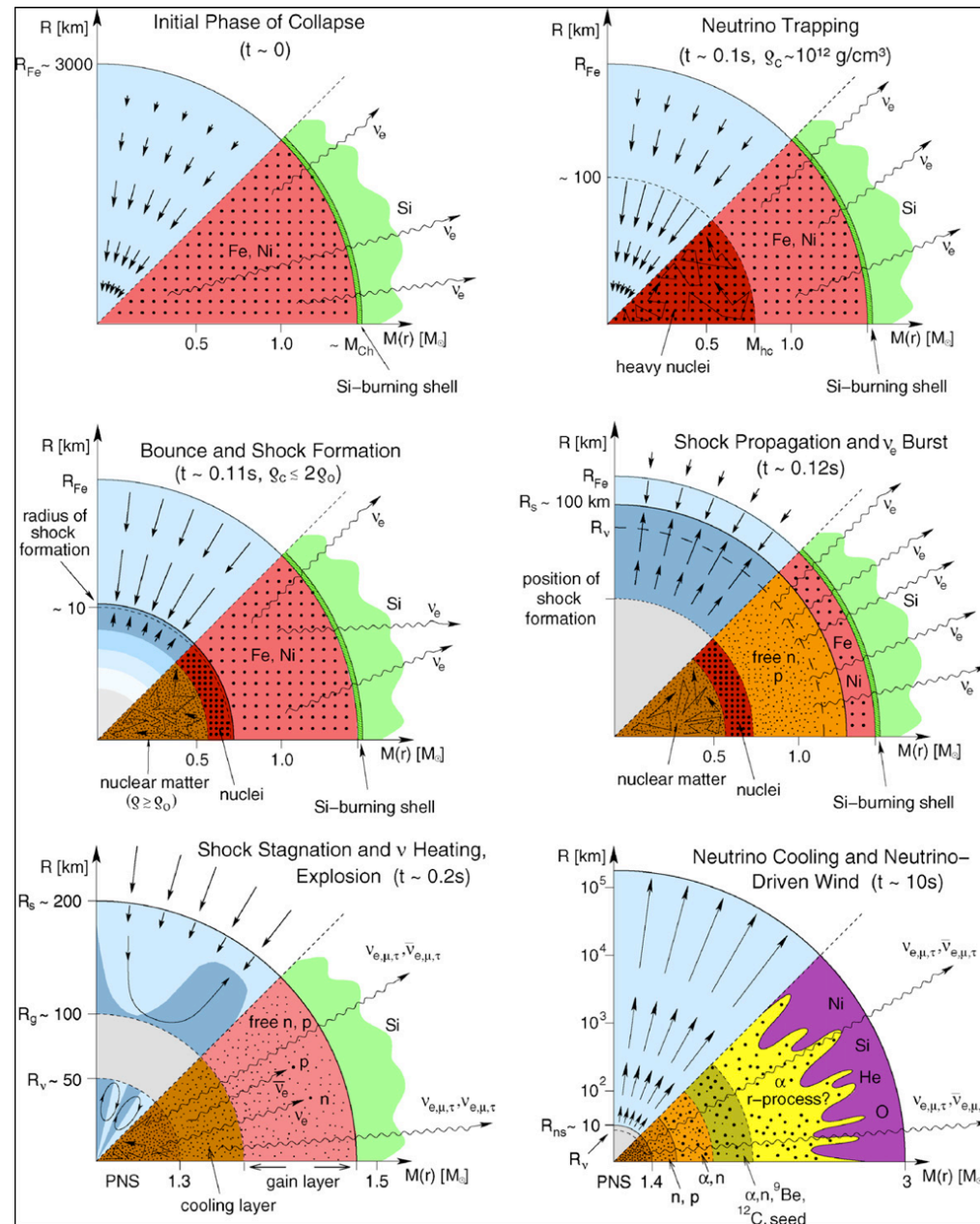
Effondrement brutal de l'enveloppe
sur le noyau incompressible.

$$\rho : 10^{12} - 10^{14} \text{ g/cm}^3$$

Formation d'un choc se propageant vers l'extérieur

Accélération et renforcement du choc par les neutrinos

Janka et al. *Phys. Report* 2007



NUMERICS:

HOMOLOGOUS COLLAPSE NEAR THE CORE

QUASY-STEADY OUTER CORE

CRUCIAL ROLE OF NEUTRINOS
FOR A STRONG SHOCK

Self similar solution for the collapse in spherical geometry for a steady outer core

$$p = K\rho^\gamma \quad 6/5 < \gamma \leq 4/3$$

$$r^2 \frac{\partial \rho}{\partial t} + \frac{\partial(\rho u r^2)}{\partial r} = 0 \quad \frac{\partial u}{\partial t} + u \frac{\partial u}{\partial r} = -\frac{1}{\rho} \frac{\partial p}{\partial r} - \frac{Gm}{r^2}, \quad m \equiv 4\pi \int_0^r \rho r^2 dr$$

dimensional parameters : G, K, \cancel{M}

$$X = K^{-1/2} G^{\frac{\gamma-1}{2}} \frac{r}{(-t)^{2-\gamma}} \quad \rho = \frac{1}{G} \frac{1}{(-t)^2} D(X) \quad X \rightarrow \infty : D(X) \propto 1/X^{\frac{2}{2-\gamma}}$$

$$u = \frac{K^{1/2}}{G^{(\gamma-1)/2}} \frac{1}{(-t)^{\gamma-1}} V(X) \quad X \rightarrow \infty : V(X) \propto 1/X^{\frac{\gamma-1}{2-\gamma}}$$

$$[V + (2 - \gamma)X]D'/D + V' = -2 - 2V/X$$

$$\gamma D'/D^{2-\gamma} + [V + (2 - \gamma)X]V' = -(4\pi/X^2) \int_0^X D(X)X^2 dX - (\gamma - 1)V$$

$$[V + (2 - \gamma)X]DX^2 = (4 - 3\gamma) \int_0^X D(X)X^2 dX \quad \Rightarrow X \rightarrow 0 : D \rightarrow D_c?, V \approx -2X/3$$

sonic point !

Self-similar stellar collapse

Yahil. *ApJ* 1983

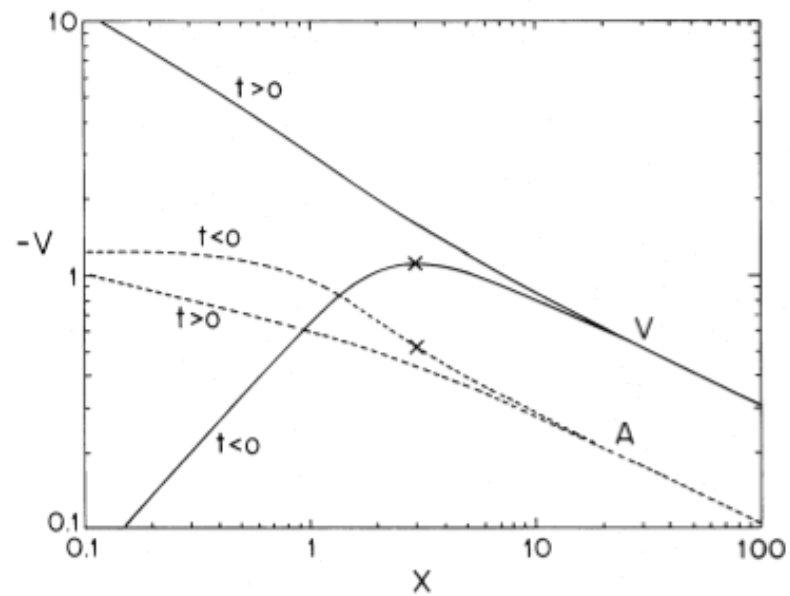


FIG. 1.—Dimensionless infall velocity $-V$ and sound speed A for $\gamma = 1.30$. Both precatastrophe ($t < 0$) and postcatastrophe ($t > 0$) solutions are shown. A cross at the point of maximum infall velocity marks the edge of the inner core. The same notation holds in Figs. 2–5.

Critical conditions for core-collapse supernovae

Keshet & Balberg *P. R.L* (2012),

Analyse quasi-statique au moment du ralentissement critique

$$u \frac{du}{dr} = -\frac{1}{\rho} \frac{\partial p}{\partial r} - \frac{Gm}{r^2}, \quad 4\pi\rho ur^2 = \dot{m}$$
$$u \left(\frac{de}{dr} - \frac{p}{\rho^2} \frac{\partial \rho}{\partial r} \right) = \underbrace{-\frac{L}{r^2}}_{\text{heating by the outgoing neutrino flux}} + \underbrace{kT^6}_{\text{cooling by the neutrino-emission}}$$

heating by the outgoing neutrino flux

cooling by the neutrino-emission



*Conditions limites: sur le **coeur** et au **choc***

Résultat: point de retournement avec des valeurs “pertinentes” des paramètres !